

4. Modelle

1 4.1 van der Waals Modell

2 4.2 Spin-Modelle

4.1 van der Waals Modell

Geschichtliches

- von **van der Waals** im Rahmen seiner Doktorarbeit entwickelt (ca. **1873**); basierend auf früheren Arbeiten, in denen er **Anziehungskräfte zwischen Atomen** (“**van der Waals Kräfte**”) untersuchte
- im Gegensatz zu dem bis dahin verwendeten **idealen Gas** berücksichtigt das Modell:
 - (i) die **endliche Ausdehnung der Atome** (bzw. Moleküle) – später der **Term b**
 - (ii) die **Anziehungskräfte zwischen den Atomen** (bzw. Molekülen) – später der **Term a**
- somit das erste Modell, das einen **Phasenübergang** zwischen der **flüssigen und der gasförmigen Phase** und das damit verbundene **kritische Verhalten** vorhersagt

Herleitung

in der Literatur werden verschiedene Argumentationslinien verwendet, um das Modell herzuleiten

oft wird die Virialentwicklung des Druckes (also die Entwicklung des Druckes in Potenzen der Teilchendichte $\rho = N/V$) verwendet, die nach zweiter Ordnung abgebrochen wird;

trotz dieser Näherung liefert das van der Waals Modell auch für die Beschreibung der flüssigen Phase von einfachen Substanzen (Edelgase, einfache Gase, etc.) erstaunlich gute Ergebnisse – sh. später

Zustandsgleichung

$$\left(P + \frac{N^2 a}{V^2} \right) (V - Nb) = Nk_B T$$

dabei stellen:

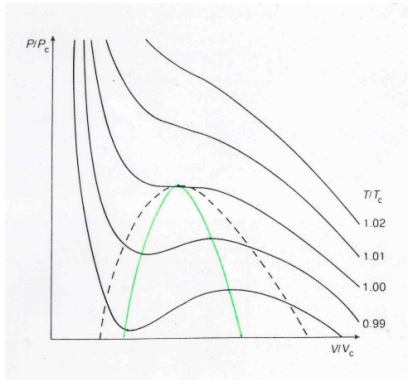
- (i) b das Vierfache des Eigenvolumens eines Atoms (Molküls) mit Durchmesser σ dar, also

$$b = 4 \frac{4\pi}{3} \left(\frac{\sigma}{2} \right)^3$$

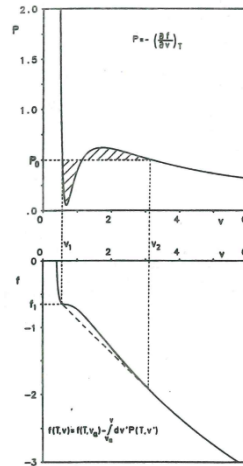
- (ii) a die (gemittelte) Stärke der Anziehung zweier Atome (Moleküle) über

$$a = -2\pi \int_0^\infty r^2 dr \Phi(r)$$

Phasendiagramm



Phasendiagramm

Maxwell-Konstruktion
zur Bestimmung der

◀ Phasenkoexistenz ▶



Thermodynamische Eigenschaften

- innere Energie

$$U - U_0 = \int_{T_0}^T C_V(T) dT - N^2 a \left(\frac{1}{V} - \frac{1}{V_0} \right)$$

- freie Energie

$$A = k_B T N \ln \frac{e(V - Nb)}{\Lambda^3 N} - \frac{N^2 a}{V}$$

- Entropie

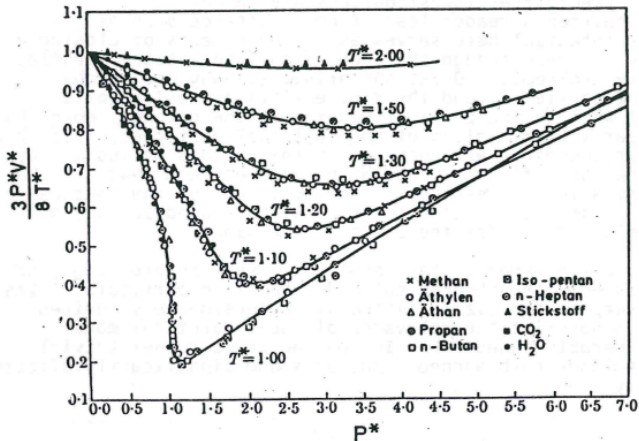
$$S - S_0 = C_V \ln \frac{T}{T_0} + N k_B \ln \left(\frac{V - Nb}{V_0 - Nb} \right)$$

- chemisches Potential

$$\mu = k_B T \left[\ln \left(\frac{\Lambda^3 N}{1 - Nb} \right) + \frac{bN}{1 - bN} 2aN \right] - 2aN$$

- Wärmekapazität

Gesetz der korrespondierenden Zustände



Gesetz der korrespondierenden Zustände

Kritisches Verhalten

(a) kritische Parameter

werden berechnet aus:

$$\left(\frac{\partial P}{\partial V}\right)_T = 0 \quad \text{und} \quad \left(\frac{\partial^2 P}{\partial V^2}\right)_T = 0$$

und ergeben sich zu

$$V_c = 3Nb \quad k_B T_c = \frac{8}{27} \frac{a}{b} \quad P_c = \frac{1}{27} \frac{a}{b^2}$$

mit $V^* = V/V_c$, $T^* = T/T_c$ und $P^* = P/P_c$ ergibt sich Zustandsgleichung in reduzierten Größen

$$\left(P^* + \frac{3}{(V^*)^2}\right)(3V^* - 1) = 8T^*$$

sei weiters $\omega = (V - V_c)/V_c$, $\pi = (P - P_c)/P_c$ und $\tau = (T - T_c)/T_c$, dann läßt sich die van der Waals Zustandsgleichung in folgender Form schreiben

$$\pi + 1 = \frac{8(\tau + 1)}{3\omega + 2} - \frac{3}{(\omega + 1)^2}$$

(b) Zustandsgleichung in der Nähe des kritischen Punktes

in der unmittelbaren Nähe des kritischen Punktes sind ω , π und τ klein; somit gilt mit

$$\begin{aligned}(1+x)^{-1} &\sim 1 - x + x^2 - x^3 + \dots \\ (1+x)^{-2} &\sim 1 - 2x + 3x^2 - 4x^3 + \dots\end{aligned}$$

daher

$$\begin{aligned}\pi + 1 &\sim (4\tau + 4) \left(1 - \frac{3}{2}\omega + \frac{9}{4}\omega^2 - \frac{27}{8}\omega^3 + \dots \right) - \\ &\quad - 3(1 - 2\omega + 3\omega^2 - 4\omega^3 + \dots) \\ &\sim 4\tau + 1 - 6\tau\omega + 9\tau\omega^2 - \frac{3}{2}\omega^3 + \dots\end{aligned}$$

schließlich ergibt sich die Zustandsgleichung in unmittelbarer Nähe des kritischen Punktes

$$\pi \sim 4\tau - 6\tau\omega + 9\tau\omega^2 - \frac{3}{2}\omega^3 \quad (1)$$

(c) Berechnung einiger kritischer Exponenten

- Berechnung von $\lim_{\tau \rightarrow 0} |\omega_{\text{fl}} - \omega_{\text{g}}|$

anstelle der Koexistenzvolumina ω_{fl} und ω_{g} betrachten wir die Volumina ω_1 und ω_2 , die die Extrema einer Isothermen markieren

$$\frac{\partial \pi}{\partial \omega} = -6\tau + 18\tau\omega - \frac{9}{2}\omega^2 + \dots = 0$$

$$\omega^2 - 4\omega\tau + \frac{4}{3}\tau = 0 \quad \text{mit Loesungen } \omega_1, \omega_2$$

für $|\omega_1 - \omega_2|$ erhält man

$$|\omega_1 - \omega_2| = \left[-\frac{4}{3}\tau + \mathcal{O}(\tau^2) \right]^{1/2}$$

wegen $|\omega_1 - \omega_2| \sim \left| \frac{1}{\varrho_1} - \frac{1}{\varrho_2} \right| \sim |\varrho_1 - \varrho_2|$ erhält man schließlich

$$|\varrho_1 - \varrho_2| \sim (-\tau)^{1/2} \quad [\beta = 1/2]$$

- Berechnung der **isothermen Kompressibilität** κ_T entlang der **kritischen Isochore**, also $V = V_c$ bzw. $\omega = 0$, für $\tau \rightarrow 0$

$$\kappa_T = -\frac{1}{V} \left(\frac{\partial V}{\partial P} \right)_T \sim \left(\frac{\partial \omega}{\partial \pi} \right)_{\tau, \omega=0}$$

partielle Ableitung von Gleichung (3) nach π liefert

$$1 = -6\tau \frac{\partial \omega}{\partial \pi} + 18\tau\omega \frac{\partial \omega}{\partial \pi}$$

entlang der kritischen Isochore, also für $\omega = 0$, gilt

$$1 = -6\tau \frac{\partial \omega}{\partial \pi} \quad \Rightarrow \quad \frac{\partial \omega}{\partial \pi} \sim \kappa_T \sim \tau^{-1} \quad [\gamma = 1]$$

- Beziehung zwischen **Druck** und **Dichte** entlang der kritischen Isotherme, also $\tau = 0$, in der Nähe des kritischen Punktes

aus Gleichung (3) folgt entlang $\tau = 0$

$$\underbrace{\pi}_{\sim P - P_c} = -\frac{3}{2} \underbrace{\omega^3}_{\sim (V - V_c)^3 \sim (\rho - \rho_c)^3} \quad \text{also} \quad (P - P_c) \sim |\rho_c - \rho|^3 \quad [\delta = 3]$$

4.2 Spin-Modelle

4.2.1 Ising (Spin-1/2) Modell ($D = 1$)

von Ising ca. 1920 entwickelt, als Modell, das einen magnetischen Übergang beschreibt

Gegeben:

- Hamiltonfunktion

$$\mathcal{H} = -J \sum_{\langle ij \rangle} s_i s_j - H_m \sum_i s_i$$

- Spineinstellungen $s_i = \pm 1$ (diskretes Modell)
- eindimensionale Kette, N Spins,
periodische Randbedingungen: $s_{N+1} \equiv s_1$
- externes Feld H_m im folgenden mit H bezeichnet

Gesucht:

- thermodynamische Eigenschaften

$$\mathcal{H} = -J \sum'_{\langle ij \rangle} s_i s_j - H \sum_i s_i = -J \sum_{i=1}^N s_i s_{i+1} - \frac{1}{2} H \sum_{i=1}^N (s_i + s_{i+1}) \quad (2)$$

Berechnung der Zustandssumme Z mit $\beta = 1/(k_B T)$

$$Z = Z(T, H, N) = \sum_{s_1=\pm 1} \cdots \sum_{s_N=\pm 1} \exp(-\beta \mathcal{H}) \quad (3)$$

kann mit Hilfe der Transfermatrix-Methode relativ einfach berechnet werden
man erhält schließlich für die kanonische Zustandssumme:

$$Z(T, H, N) = (\lambda_1^N + \lambda_2^N) \quad \text{bzw.} \quad G(T, H, N) = -k_B T \ln [\lambda_1^N + \lambda_2^N]$$

wobei

$$\lambda_{1,2} = \exp(\beta J) \left[\cosh(\beta H) \pm \sqrt{\cosh^2(\beta H) - 2 \exp(-2\beta J) \sinh(2\beta J)} \right]$$

sei $\lambda_1 > \lambda_2$, dann folgt

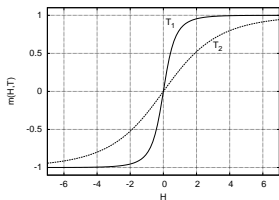
$$G = -k_B T \ln [\lambda_1^N + \lambda_2^N] = -k_B T \ln \left[\lambda_1^N \left(1 + \underbrace{(\lambda_2/\lambda_1)^N}_{<1} \right) \right]$$

für $N \rightarrow \infty$ ist $G(T, H, N)$ extensiv, also

$$g(T, H) = \lim_{N \rightarrow \infty} G/N = -k_B T \ln \lambda_1 < \infty$$

aus G (bzw. g) erhält man im thermodynamischen Grenzwert (also für $N \rightarrow \infty$) für die Magnetisierung pro Teilchen, $m = M/T$

$$m(T, H) = - \left(\frac{\partial(G/N)}{\partial H} \right)_T = \frac{\sinh(\beta H)}{\sqrt{\sinh^2(\beta H) + \exp[-4\beta J]}}$$



Magnetisierung pro Teilchen für ein eindimensionales Ising-Modell als Funktion von H (in willkürlichen Einheiten) für zwei verschiedenen Temperaturen T_1 und T_2 , mit $T_1 < T_2$.

schließlich lassen sich auch noch andere Größen, wie etwas [Korrelationsfunktionen](#) mit Hilfe dieses Algorithmus relativ leicht berechnen [allerdings: das Modell zeigt keinen](#)

[Phasenübergang](#) (bzw. lediglich einen kritischen Punkt bei $T = 0$)

4.2.2 Ising (Spin-1/2) Modell ($D = 2$)

analytische Lösung (für spezielle Bedingungen) von L. Onsager (~ 1940)

(a) analytische Lösung

Gegeben:

- Hamiltonfunktion

$$\mathcal{H} = -J \sum'_{\langle ij \rangle} s_i s_j$$

- Spineinstellungen $s_i = \pm 1$ (diskretes Modell)
- quadratisches Gitter, $N = n^2$ Spins,
periodische (toroidale) Randbedingungen
- kein Feld !!

Gesucht:

- thermodynamische Eigenschaften

Ergebnisse (ohne Rechnung):

- freie Enthalpie

$$\beta \frac{1}{N} G = -\ln[2 \cosh(2\beta J)] - \frac{1}{2\pi} \int_0^\pi d\Phi \ln \left[\frac{1}{2} \left(1 + \sqrt{1 - \kappa^2 \sin^2 \Phi} \right) \right]$$

- innere Energie

$$\beta \frac{1}{N} E = -2J \tanh(2\beta J) + \frac{\kappa}{2\pi} \frac{d\kappa}{d\beta} \int_0^\pi d\Phi \frac{\sin^2 \Phi}{\Delta(1 + \Delta)}$$

- kritischer Punkt mit kritischer Temperatur T_c

$$k_B T_c \sim 2.269J$$

- für die Wärmekapazität C gilt bei $T \sim T_c$

$$\frac{1}{k_B} C(T) \sim \frac{2}{\pi} \left(\frac{2J}{k_B T_c} \right)^2 \left[-\ln \left| 1 - \frac{T}{T_c} \right| + \ln \left(\frac{k_B T_c}{2J} \right) - \left(1 + \frac{\pi}{4} \right) \right] \quad (4)$$

mit

$$\kappa = 2 [\cosh(2\beta J) \coth(2\beta J)]^{-1} \quad \Delta = \sqrt{1 - \kappa^2 \sin^2 \Phi}$$

- (spezifische) Magnetisierung m

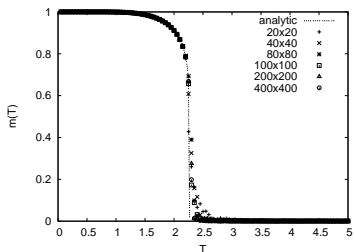
ähnlich wie für $D = 1$ (nur mit erheblich mehr Rechenaufwand) ergibt sich die Magnetisierung pro Spin, $m = M/N$, zu

$$m(T) = \left[\frac{(1 + x^2)(1 - 6x^2 + x^4)^{1/2}}{(1 - x^2)^2} \right]^{1/4} \quad \text{mit} \quad x = \exp[-2\beta J] \quad (5)$$

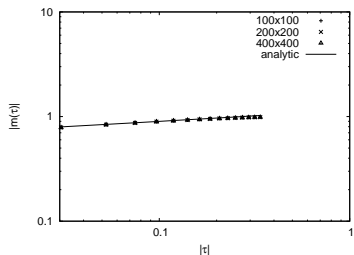
(b) Ergebnisse von Monte Carlo Simulationen

Ergebnisse aus der Projektarbeit von Thomas Garschall (2009/2010):

Magnetisierung

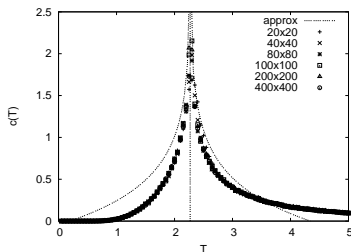


Magnetisierung pro Spin, $m(T)$, für ein zwei-dimensionales Ising Spin-Modell als Funktion der **Temperatur T** . Ergebnisse von Monte Carlo Simulationen für verschiedene Ensemblegrößen (wie angegeben); strichlierte Linie: analytisches (exaktes) Ergebnis.



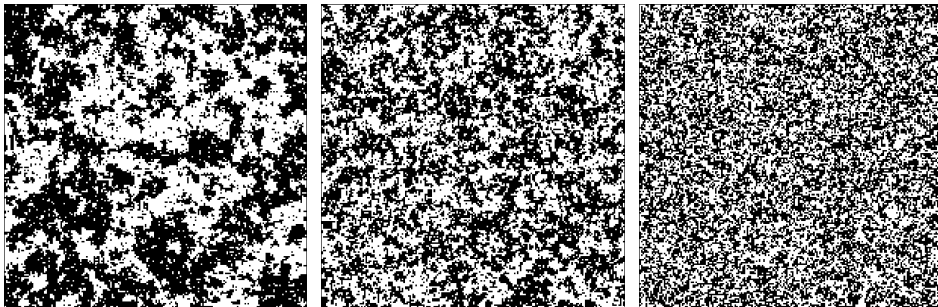
Logarithmus der Magnetisierung pro Spin, $\ln m(T)$, als Funktion der **reduzierten Temperatur $|\tau|$** , mit $\tau = (T - T_c)/T_c$ für ein zwei-dimensionales Ising Spin-Modell. Ergebnisse von Monte Carlo Simulationen für verschiedene Ensemblegrößen (wie angegeben). Linie: analytisches Ergebnis.

Wärmekapazität



Wärmekapazität pro Spin, $c(T)$, für ein zwei-dimensionales Ising Spin-Modell als Funktion der **Temperatur** T . Ergebnisse von Monte Carlo Simulationen für verschiedene Ensemblegrößen (wie angegeben); strichlierte Linie: Näherungsausdruck der analytischen Lösung.

Spinkonfigurationen



Spinkonfigurationen eines zwei-dimensionalen Ising Spin-Modells aus einer Monte Carlo Simulation nach jeweils 500 Simulationsschritten für drei verschiedene Temperaturen: $T = 2.4J/k_B$ (links), $T = 3.0J/k_B$ (Mitte) und $T = 5.0J/k_B$ (rechts). Systemgröße: 200×200 Spins. Weiße und schwarze Kästchen entsprechen Spins mit gegensätzlicher Orientierung.

4.2.3 Ising (Spin-1/2) Modell (D=3)

zeigt kritisches Verhalten

eines der wichtigsten Modelle der Statistischen Physik

(bislang) keine analytische Lösung gefunden

sehr genau mit Hilfe von Computersimulationen untersucht

Ergebnisse für die kritischen Exponenten (“Universalitätsklasse Ising 3D”):

- $\alpha = 0.105$ (Divergenz der Wärmekapazität)
- $\beta = 0.328$ (Verhalten der Magnetisierung in der Nähe des kritischen Punktes)
- $\gamma = 1.239$ (Relation zwischen Feld und Magnetisierung entlang der kritischen Isotherme)
- ...

4.2.4 n -Vektor Spin Modelle

Ising	$s_i = \pm 1$		$n = 1$
XY-Modell	$\vec{s}_i = (s_{i;x}, s_{i;y})$	$ \vec{s}_i ^2 = 1$	$n = 2$
Heisenberg-Modell	$\vec{s}_i = (s_{i;x}, s_{i;y}, s_{i;z})$	$ \vec{s}_i ^2 = 1$	$n = 3$
n -Vektor Modell	$\vec{s}_i = (s_{i;1}, \dots, s_{i;n})$	$ \vec{s}_i ^2 = 1$	

im allgemeinen einfachste Form für die Hamilton-Funktion gewählt

$$\mathcal{H} = -J \sum_{\langle i,j \rangle} \vec{s}_i \vec{s}_j - H \sum_i s_{i;1}$$